JOURNÉES VERRE 2025 ROSCOFF

5 - 7 Novembre 2025





Verres bioactifs : De la microparticule au matériau fonctionnel

G. Vecchio, P. Lagarrigue, S. Le Grill, V. Poissonnet, F. Brouillet, C. Combes, D. Poquillon,

A. Bethry, M. Castanié, A. Dupret-Bories, V. Darcos, J. Soulié

Jérémy SOULIÉ MCF-HDR CIRIMAT / Toulouse-INP jeremy.soulie@toulouse-inp.fr











Contexte

Des composites poreux à base de verres bioactifs pour traiter les pathologies de l'os?



Pourquoi des composites poreux?

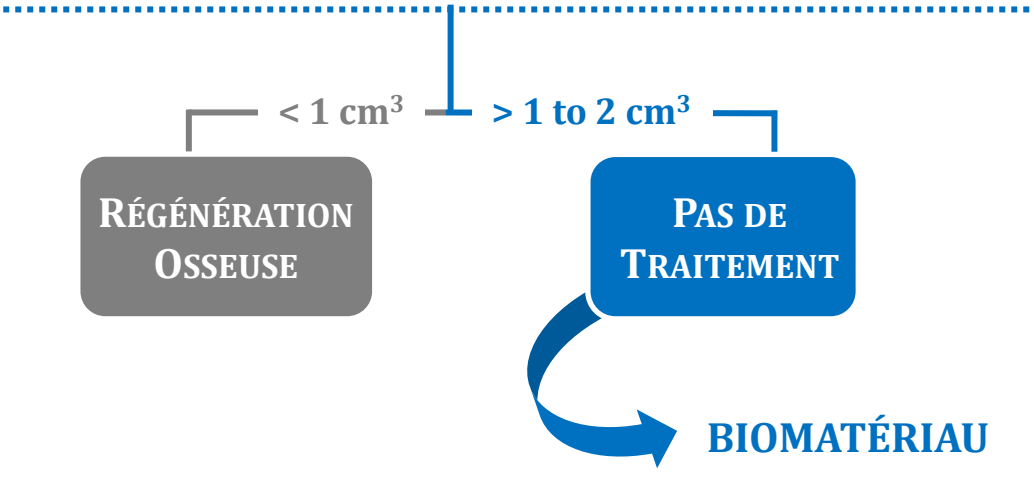




- 70 % des cancers de la cavité buccale sont traités par radiothérapie
- 10 % des radiothérapies : nécrose de l'os mandibulaire : réduction de la vascularisation et infection
- La résection chirurgicale induit des **DEFAUTS OSSEUX**



- A. Dupret-Bories
- V. Poissonnet

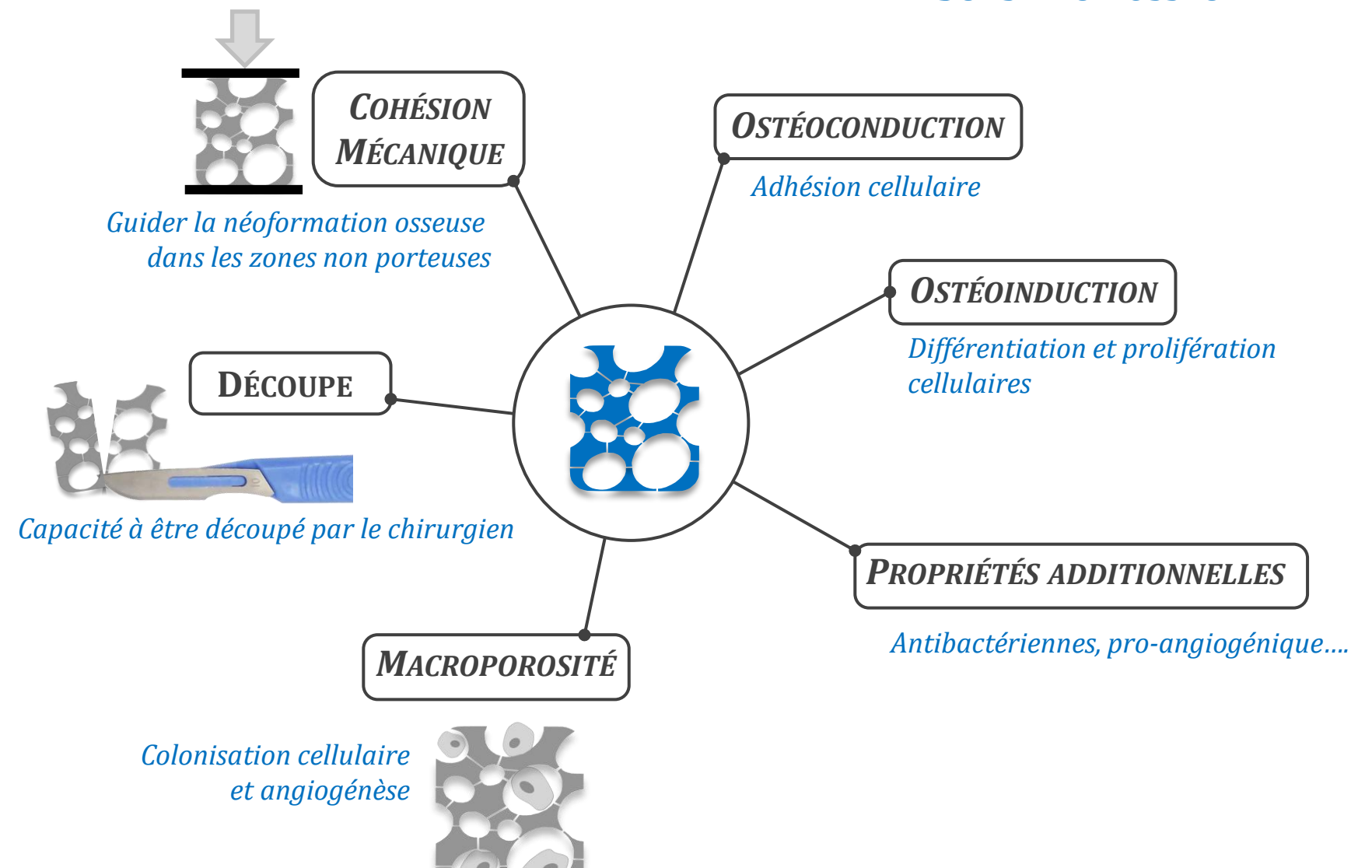






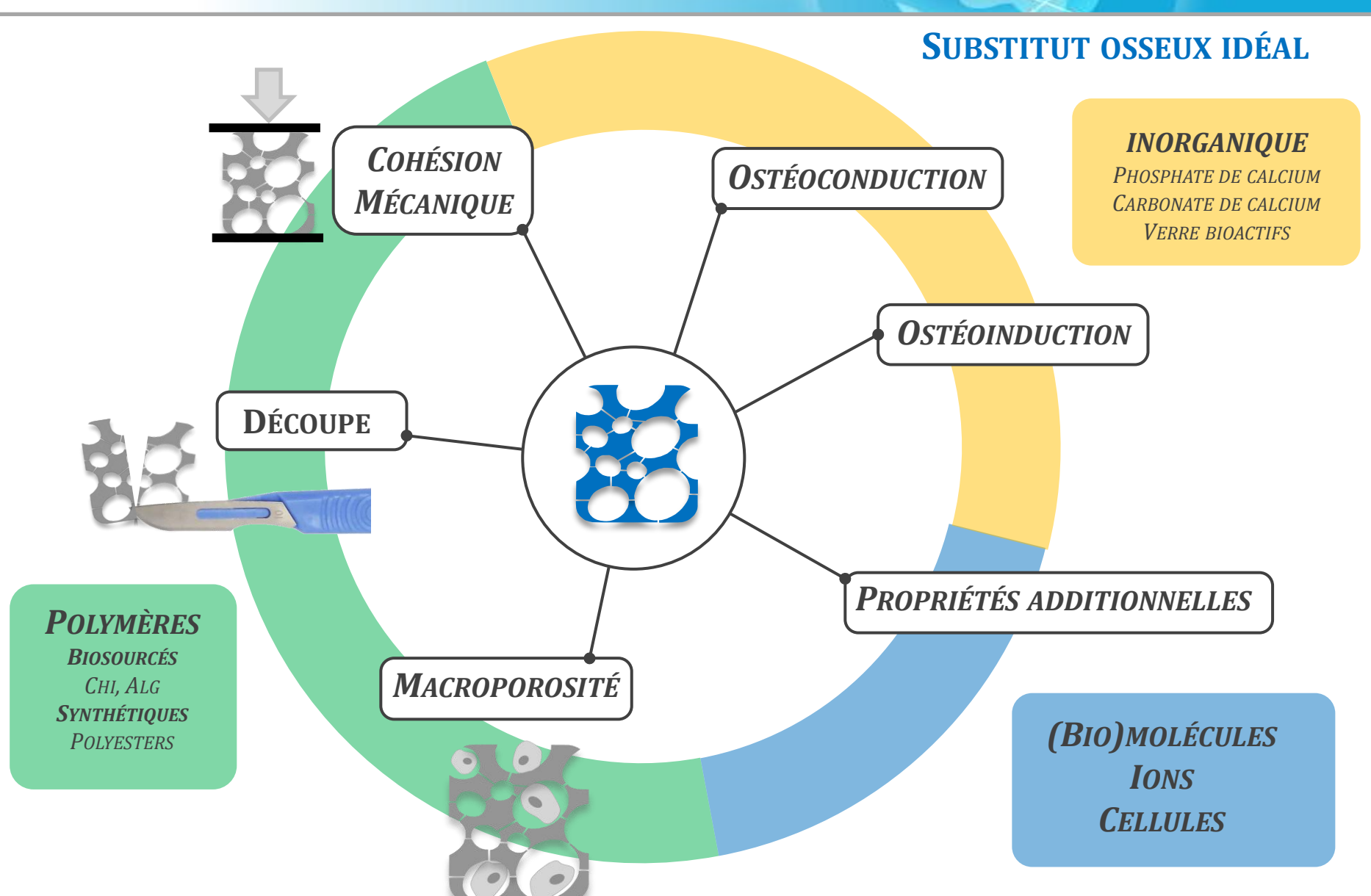
CONTEXTE

SUBSTITUT OSSEUX IDÉAL



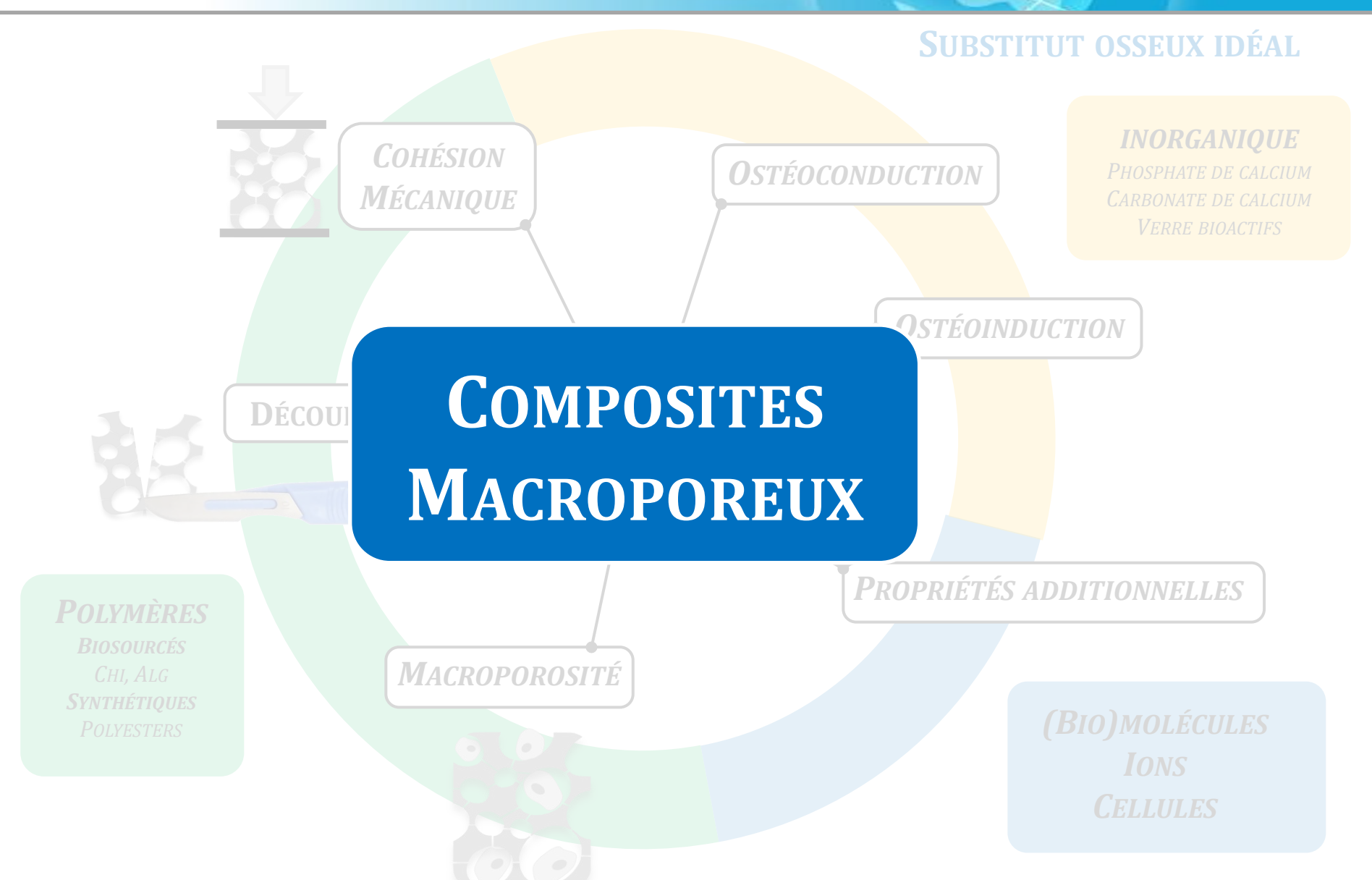


CONTEXTE



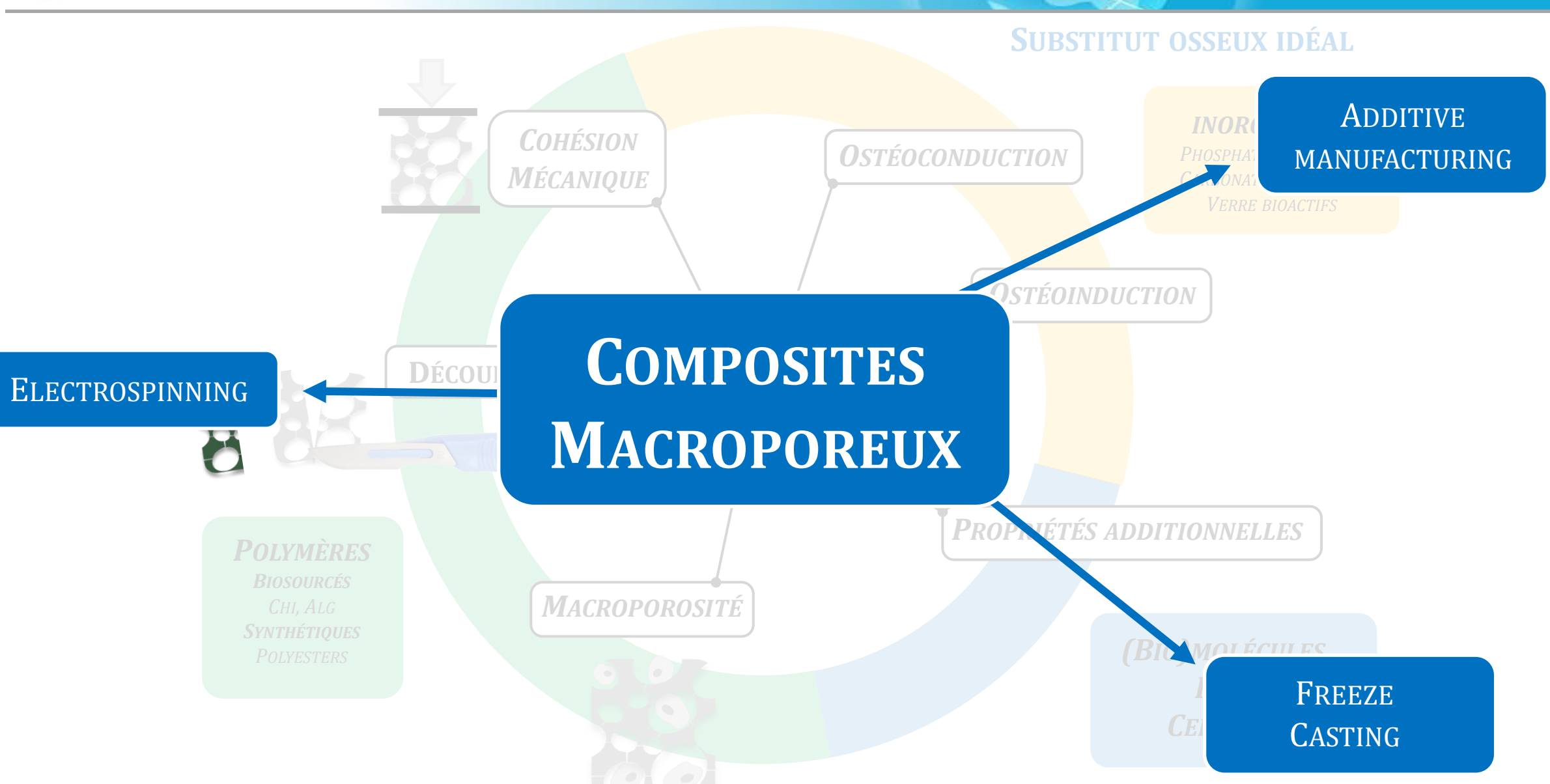








CONTEXTE







DÉVELOPPEMENT D'UN SYSTÈME POUR TRAITER L'ORM

Verres bioactifs
INORGANIQUE

+

poly(D,L-lactide) **MATRICE POLYMÈRE**

+

Freeze-Casting **Procédé**



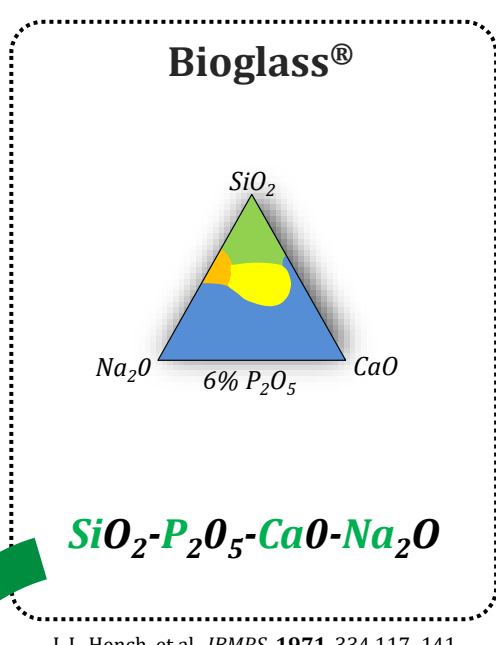


Les "Briques"

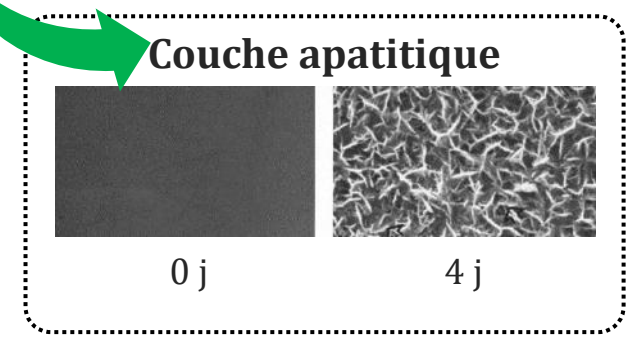
Microparticules de verre obtenues par Spray-Drying



VERRES BIOACTIFS



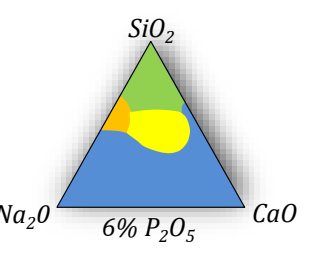
L.L. Hench, et al., JBMRS, **1971**, 334,117–141





VERRES BIOACTIFS

Bioglass®

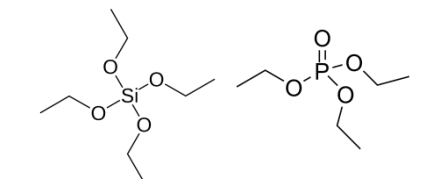


*SiO*₂-*P*₂*O*₅-*CaO*-*Na*₂*O*

L.L. Hench, et al., *JBMRS*, **1971**, 334,117–141

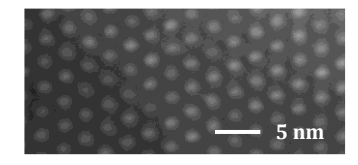
Sol-Gel

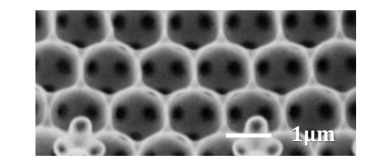
Alcoxydes

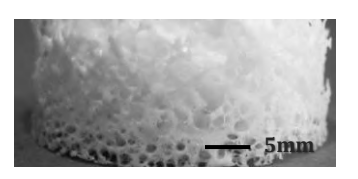


• Solvant : eau/ethanol

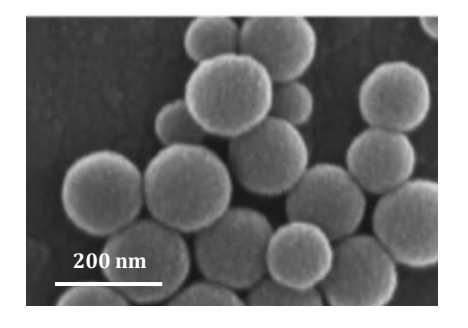
Verres poreux







Nano/microparticles



Meilleure distribution spatiale dans les composites

Couche apatitique



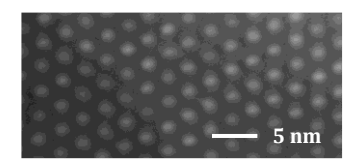
0 j

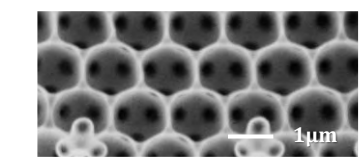


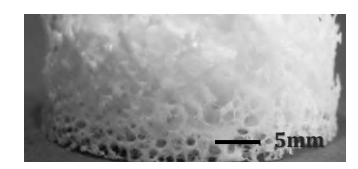


VERRES BIOACTIFS

Verres poreux







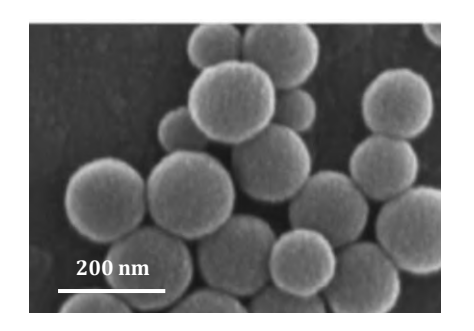


Stöber / Emulsion

Faibles rendements / grands volumes de solvants / difficile à transférer industriellement



Nano/microparticles



Meilleure distribution spatiale dans les composites



SPRAY-DRYING

Solution/suspension Gaz **DRYING SPRAY** Solvent out Heat in 2.5 0.5 Chambrede séchage **DROPLETS MICROREACTORS POUDRE**



VERRES TERNAIRES DOPÉS AU CU: SYNTHÈSE

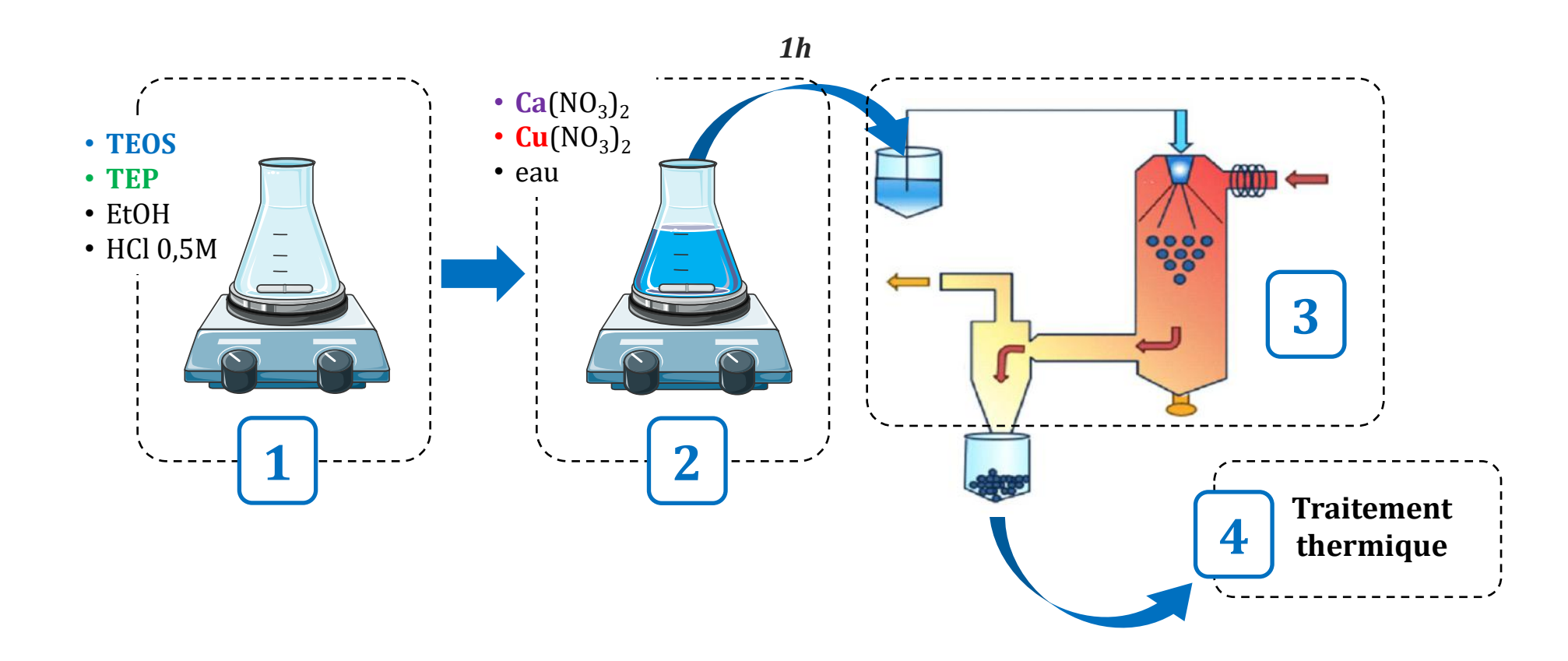
Composition

 $67.5 \, \text{SiO}_2 - (25-x) \, \text{CaO} - 7.5 \, \text{P}_2\text{O}_5 - x \, \text{CuO}$

5-BG MPs
2.5-BG MPs
1-BG MPs
0-BG MPs

G.Vecchio S.Le Grill F. Brouillet

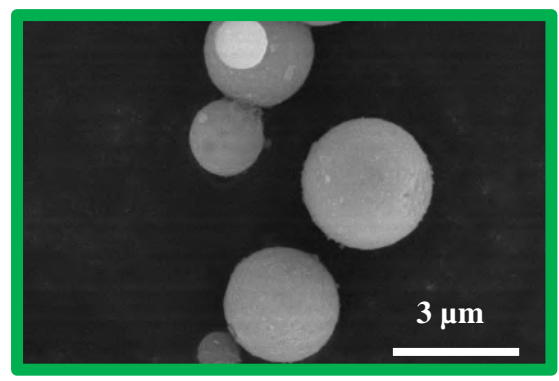






MICROSCOPIE ÉLECTRONIQUE



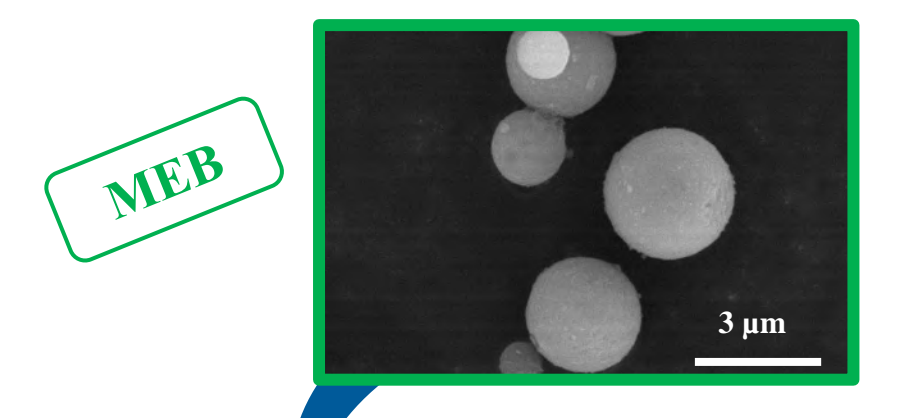


- Particules bien définies et individuelles
- Forme sphérique
- D_{50} (granulométrie) ~ $3\mu m$

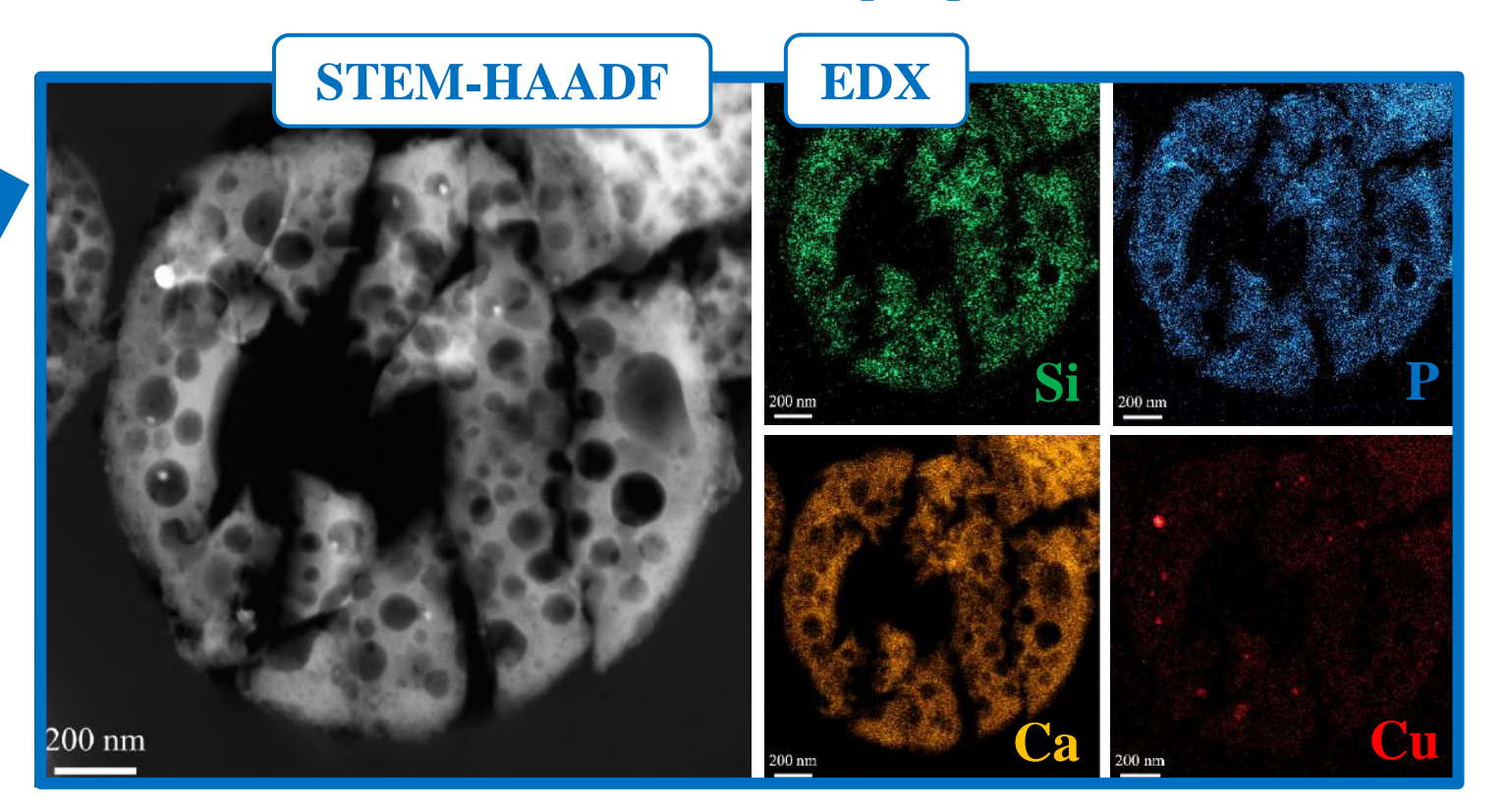


Ultramicrotomie

MICROSCOPIE ÉLECTRONIQUE

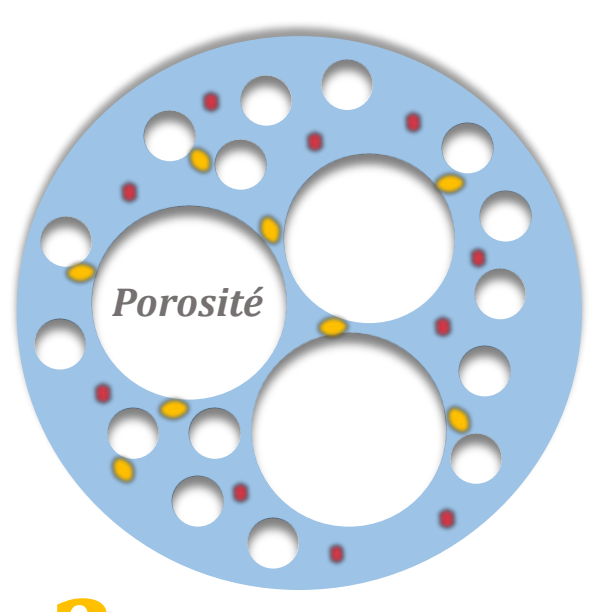


- Particules bien définies et individuelles
- Forme sphérique
- D_{50} (granulométrie) ~ $3\mu m$
- Porosité interne
- Matrice de silice contenant tous les éléments
- Zones nanométrique plus riche en CaP ou Cu





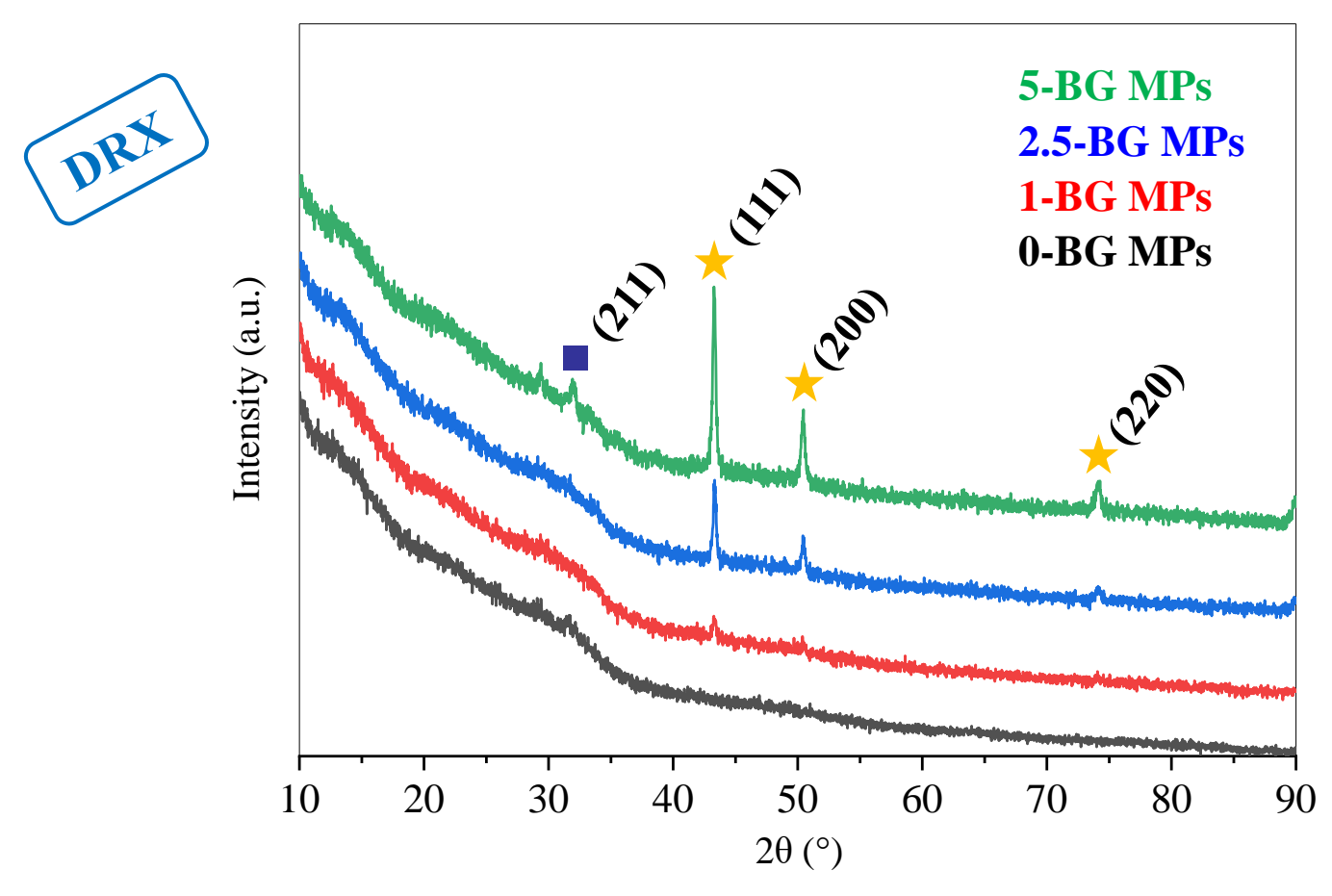
Le réseau silicate intègre-t-il P/Ca/Cu



Quel est la nature des nanodomaines riches en Cu

Quel est la nature des nanodomaines riches en CaP





- Particules principalement amorphes
- Nanoparticules de cuivre métallique Cu⁰ (~70 nm)★
- La quantité de nanoparticules de Cu⁰ augmente avec le dopage en cuivre
- Faible contribution de l'apatite nanocristalline pour les microparticules 5-BG ■





M. Duttine



Sample	Cu ⁰ (at.%)	Cu ²⁺ network (at.%)	Cu ²⁺ CuO (at.%)
1-BG MPs	85.6 ± 0.1	12.5 ± 0.1	2.9 ± 0.1
2.5-BG MPs	91.8 ± 0.1	7.7 ± 0.1	1.5 ± 0.1
5-BG MPs	88.6 ± 0.1	10.4 ± 0.1	2.0 ± 0.1

• 3 environnements locaux pour le cuivre:

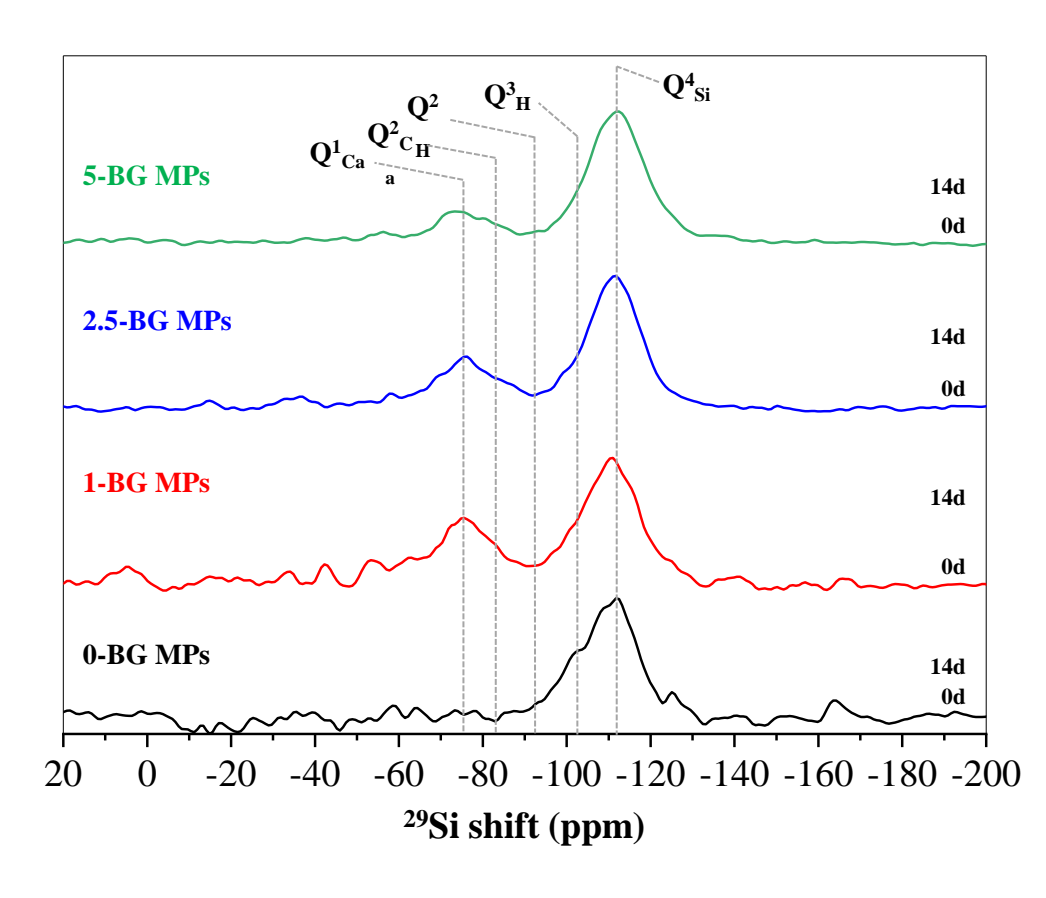
Cu⁰ cuivre métallique Cu²⁺ intégré au reseau silicate Cu²⁺ intégré dans des clusters de CuO

• Le cuivre est majoritairement intégré sou forme métallique Cu⁰



STRUCTURAL ASPECTS







Y. Coppel

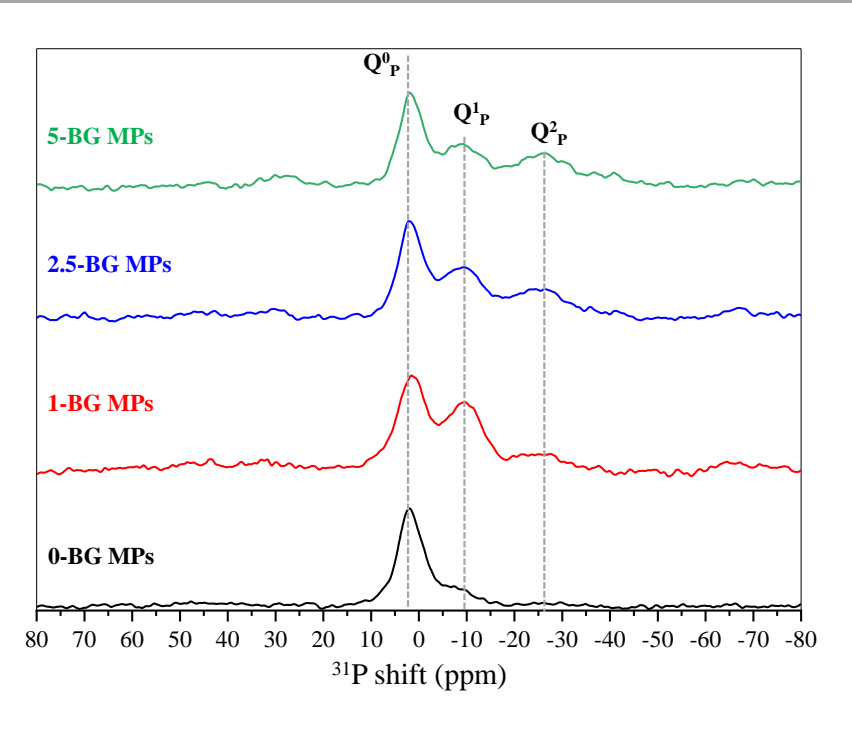
- Prédominance des espèces Q⁴, mais plusieurs espèces Qⁿ détectées
- $\bullet \ Q^1_{\ Ca} \ et \ Q^2_{\ Ca} \ non \ détectées \ pour \ les \ microparticules \ 0-BG : Ca^{2+} \ non \ intégrés \ au \ réseau \ silicate$

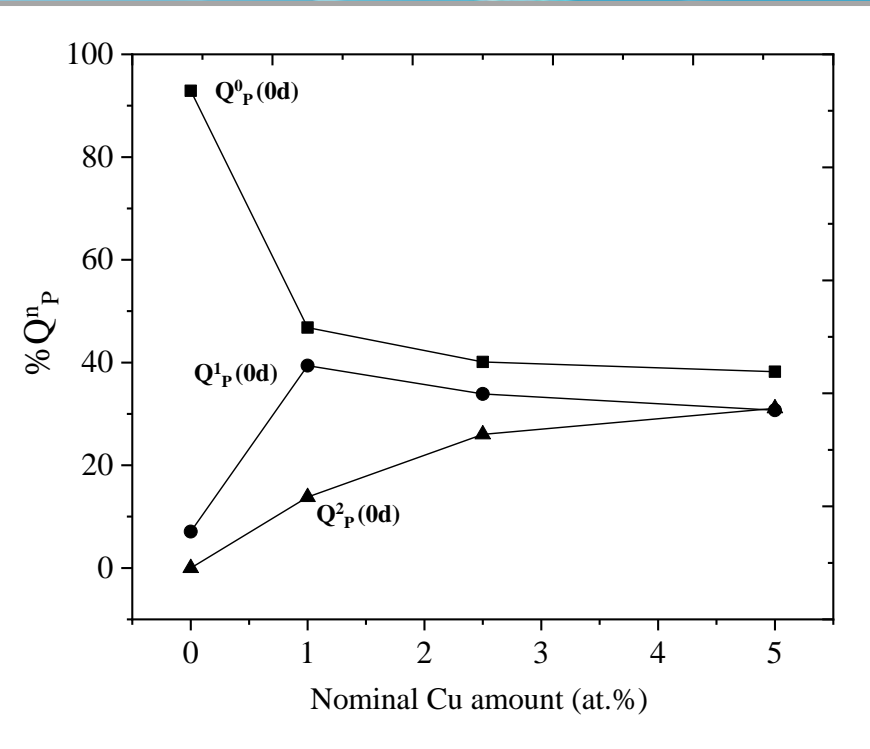
MP non dopé : Cinétique d'hydrolyse plus faible pour le TEP comparé au TEOS : association du Ca et du P **MP dopé :** Chélation préférentielle entre Cu²⁺ et les entités phosphatées : le calcium restant est incorporé dans le réseau silicate lors de l'étape de calcination



STRUCTURAL ASPECTS







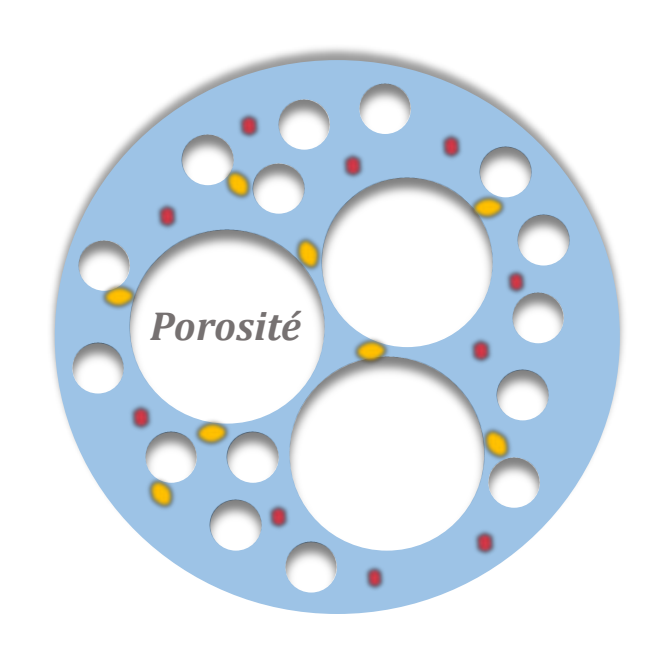


Y. Coppel

- Q_{p}^{0} : Phosphates de calcium (amorphes / ACP)
- Q^{1}_{P} : PO₄ isolés intégré au reseau silicate (P-O-Si) or ou ou pyrophosphates (Q^{1}_{P})
- Q^2_P : tripolyphosphates
- $Q_p^1 + Q_p^2$ augmente avec la teneur en Cu, mais Q_p^2 augmente au détriment de Q_p^1 .
- La quantité de Cu influence la manière dont les phosphates sont intégrés dans les microparticules :
 MP non dopé : La plupart des phosphates sont impliqués dans le CaP plutôt que dans le réseau silicate
 MP dopé : Chélation entre Cu²+ et PO₄³- / Cu²+ → Cu⁰ lors de la calcination : les PO₄³- ayant auparavant
 interagi avec Cu²+ sont intégrés dans le réseau silicaté



Le réseau silicate intègre $P \rightarrow$ formateur $Ca/Cu \rightarrow$ modificateurs

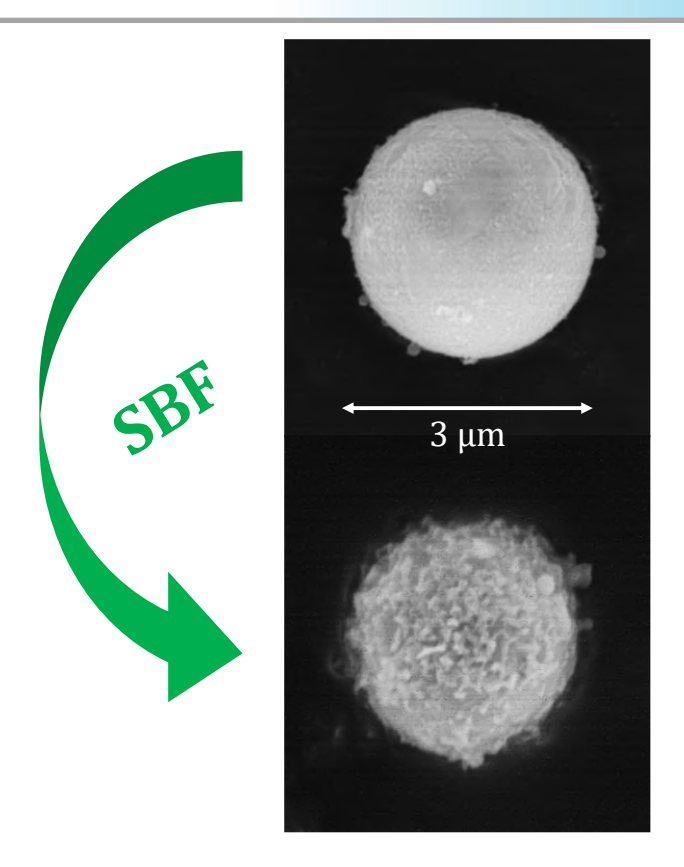


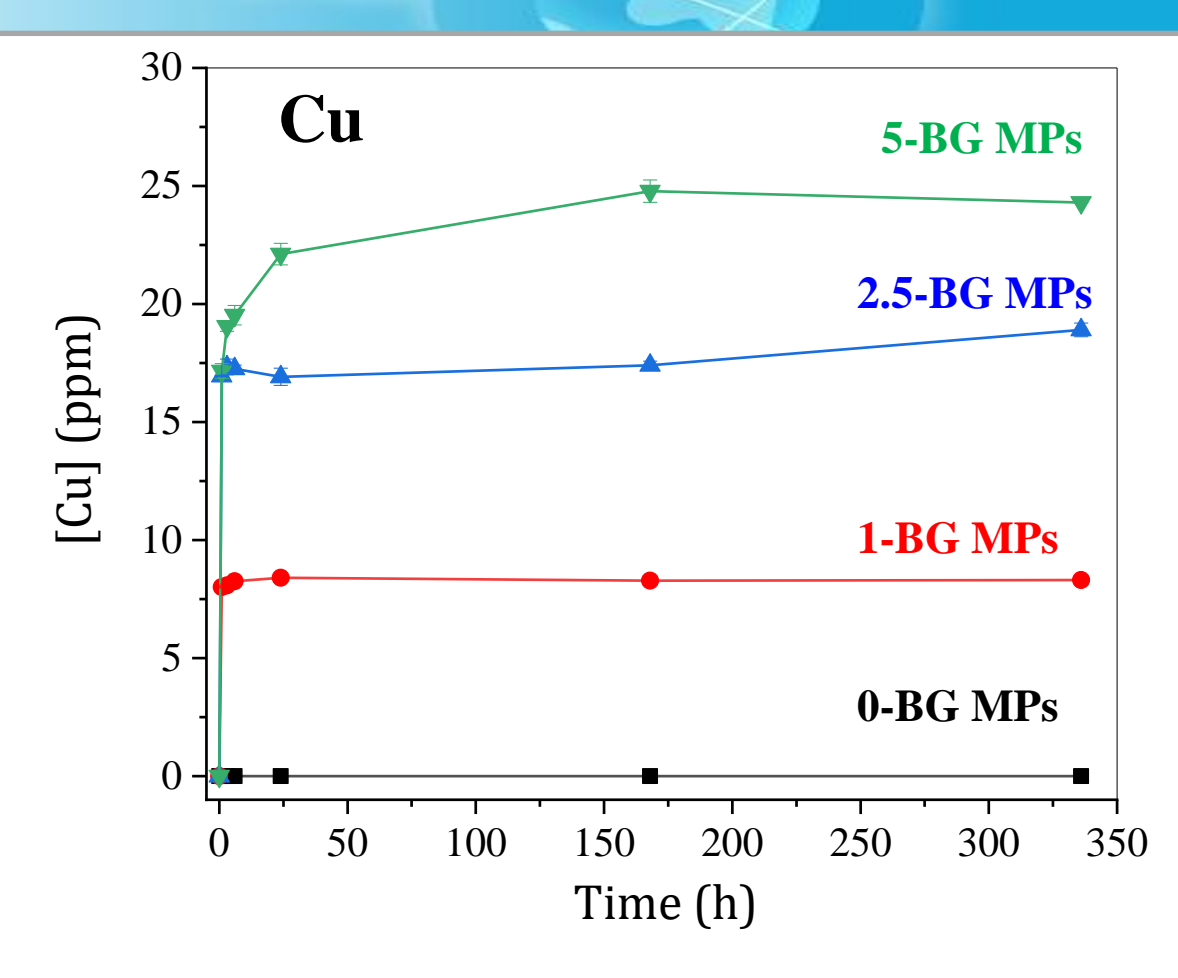
Nanodomaines de Cu⁰ métalliques

Nano-domaines riches en CaP principalement amorphes (ACP)



DÉGRDATION ACELLULAIRE DANS DU SBF







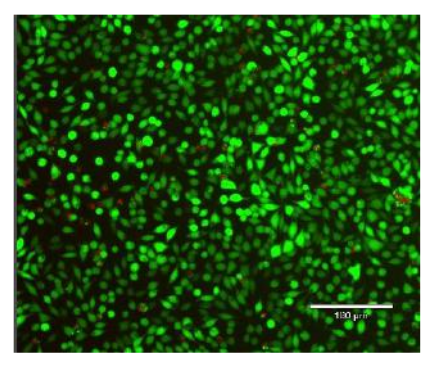
- La vitesse de formation de l'apatite et la libération de Cu²⁺ dépendent du dopage
- Les quantités de Cu²+ libérées représentent 16,9 %, 18,8 % et 24,6 % du cuivre initial
- Le Cu²⁺ libéré principalement du réseau silicate et dans une moindre mesure du Cu⁰.
- Le Cu^o restant pourrait assurer un effet antibactérien et pro-angiogénique à long terme



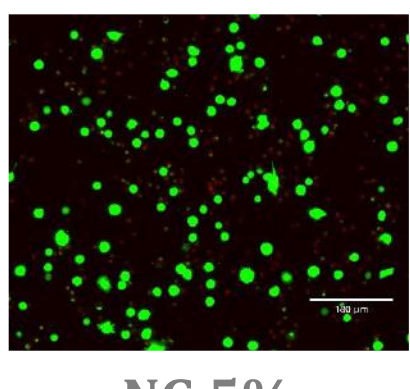
PRELIMINARY IN VITRO TESTS

Cytotoxicité

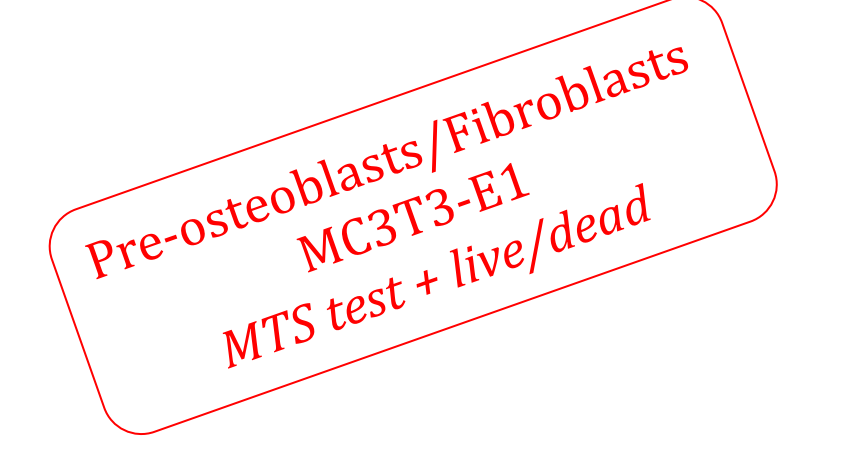
La cytotoxicité est proportionnelle au dopage en cuivre.



NG 0%



NG 5%



A. Bethry

MP. Castanié

V. Poissonnet







Caractère antibactérien

Réduction des taux de croissance : de 44 % et 85 % respectivement pour

2.5G-MPs et 5BG-MPs







Les Scaffolds

Mousses composites verre bioactive/polymère obtenues par freeze-casting



FREEZE-CASTING PROCESS

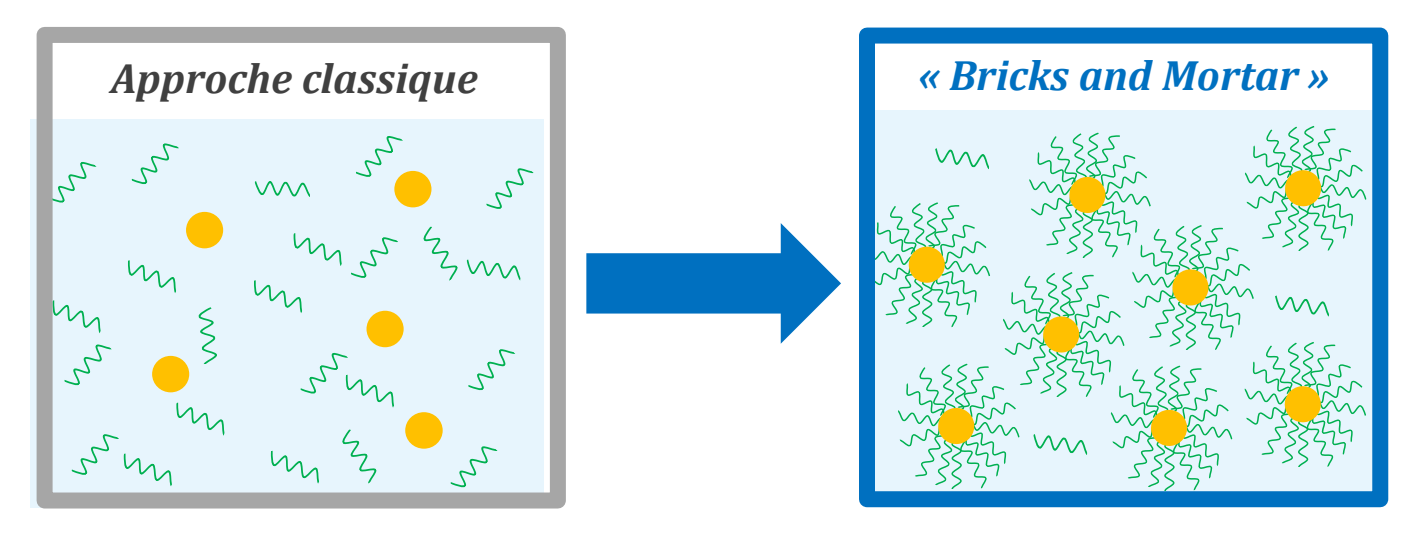
PRINCIPLE





L'INTÉRÊT DU GREFFAGE

Approche "Bricks and mortar"

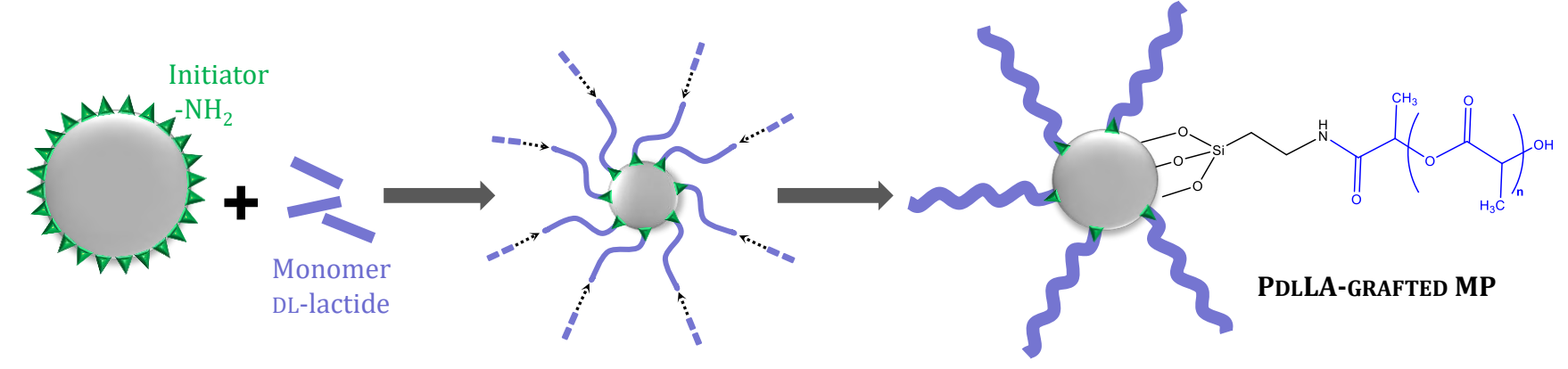


Simple mélange Agrégation non contrôlée Taux de charge limité

Greffage Covalent
Agrégation contrôlée?
Taux de charge plus important?



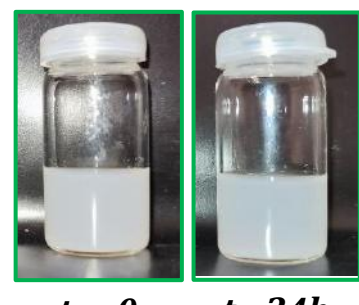
VOIE « GRAFTING FROM »



G.Vecchio
V. Darcos

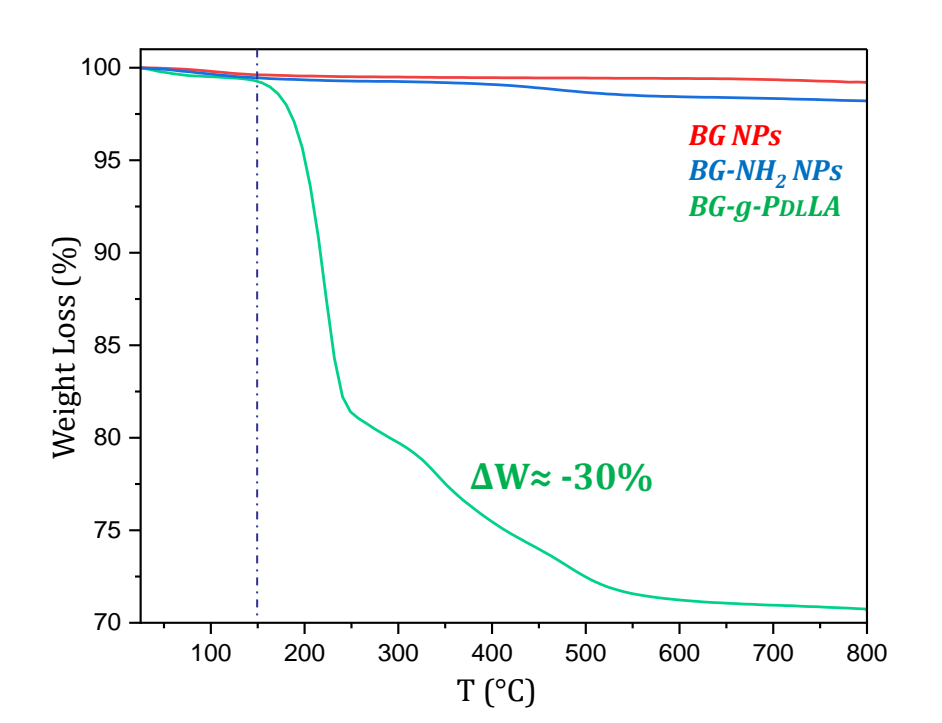


- Polymérisation initiée en surface in situ
- Microparticules fonctionnalisées = macro-initiateur
- Densité de greffage élévée
- Stabilité colloïdale accrue



 $t_0 = 0$ t = 24h



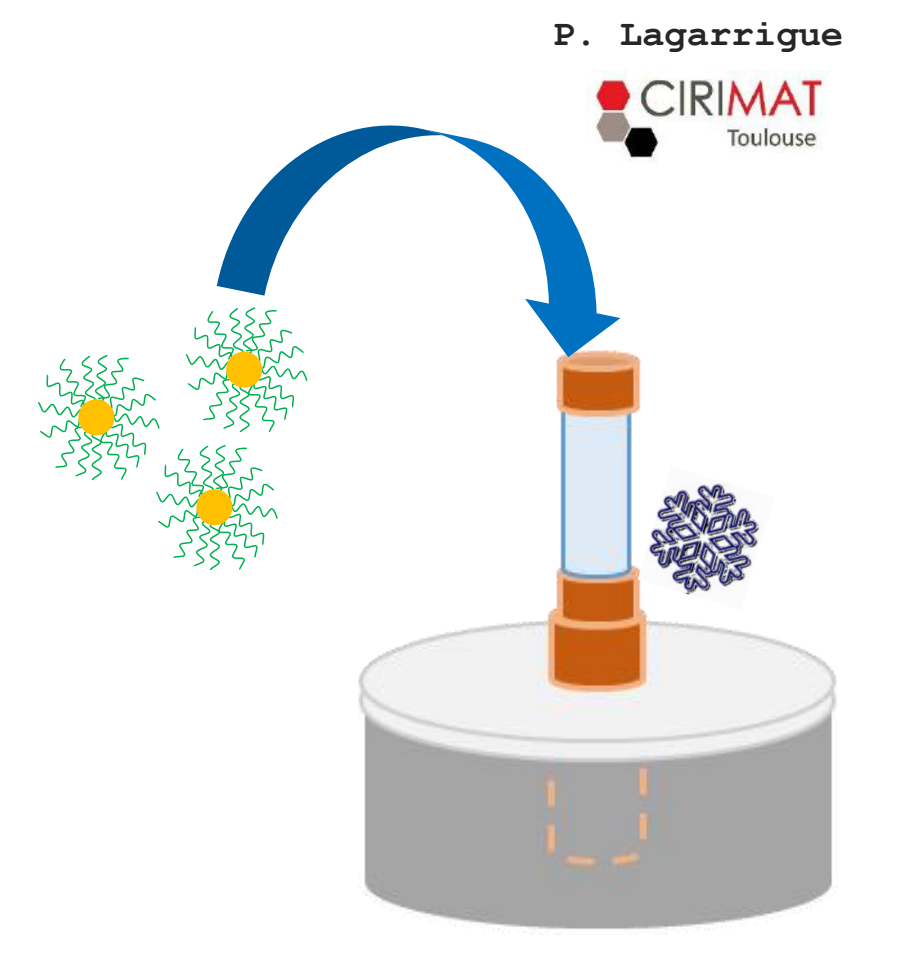




FREEZE-CASTING DES MICROPARTICULES

FORMULATION

- Matrix formulation: Mn = 160 kg/mol, [PDLLA] = 80 g/L
- 3 PDLLA/BG weight ratios: 90/10, 70/30, 50/50
- Grafted and Non-grafted glass microparticles (doped with 5% Cu)



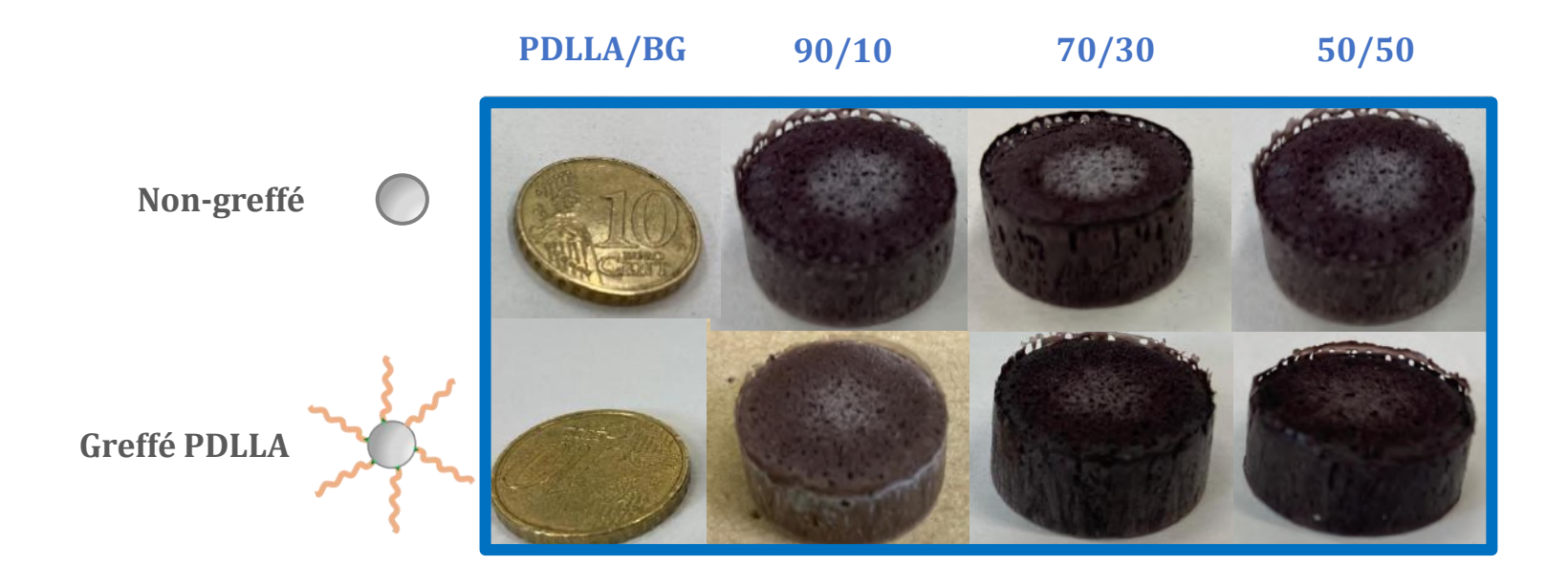
FREEZE-CASTING



IMAGES MACROSCOPIQUES

P. Lagarrigue





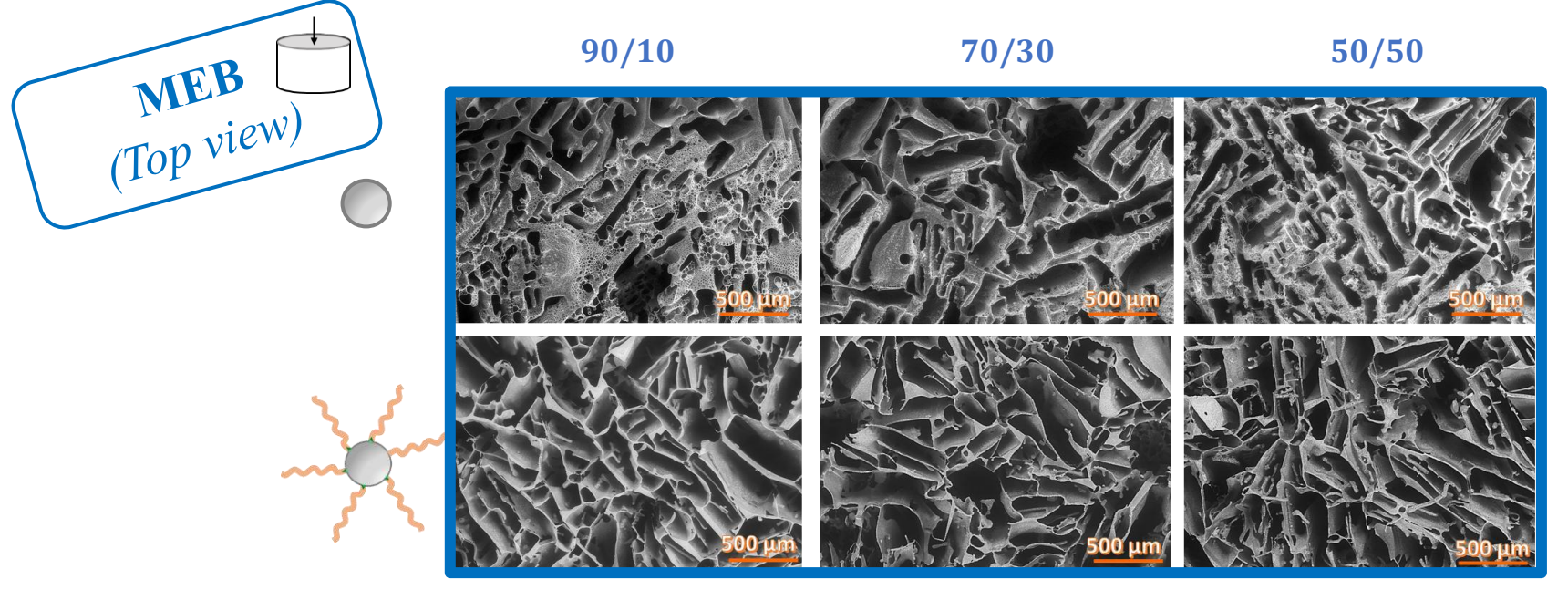
- Scaffolds macroporeux centimétriques
- Pas de differences significatives à l'echelle macroscopique



MEB: MACROPOROSITÉ

P. Lagarrigue





Longueur de pore: \sim 400 ± 200 µm Epaisseur des murs: \sim 22 ± 11 µm

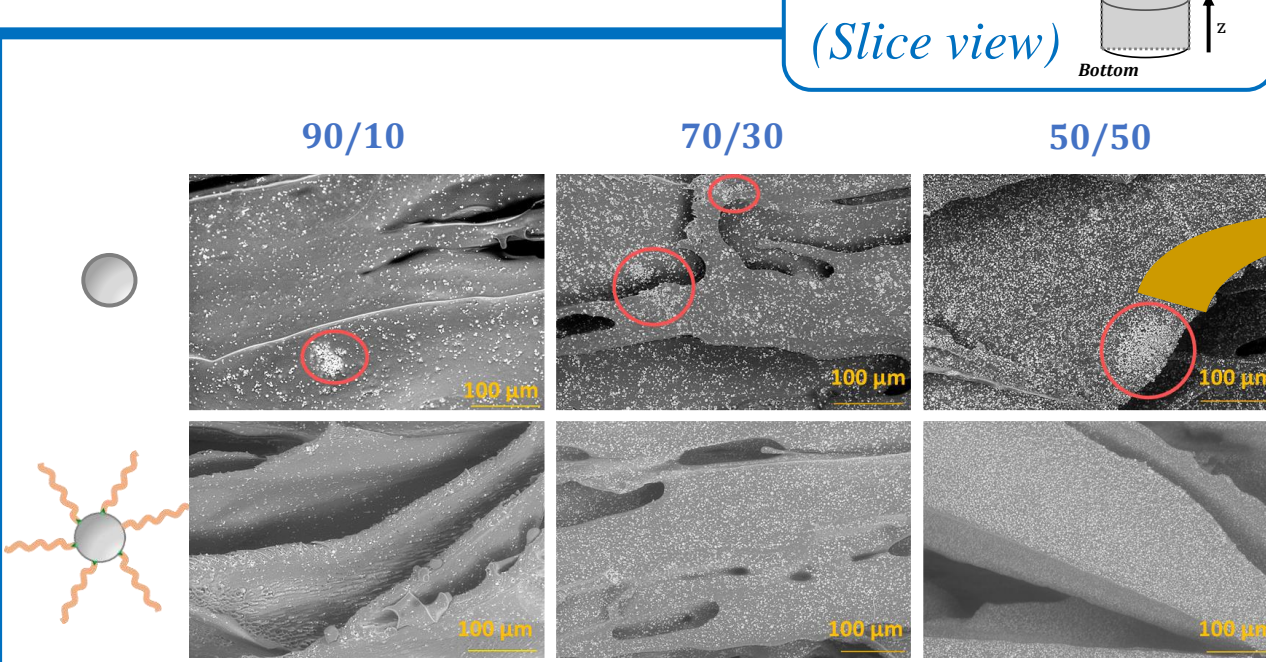
Longueur de pore : \sim 430 ± 120 µm Epaisseur des murs : \sim 24 ± 6 µm

- Porosité de plusieurs centaines de microns, adaptée à la colonisation cellulaire et à l'angiogenèse
- Structure poreuse légèrement moins définie avec les microparticules non greffées



DISTRIBUTION SPATIALE DES MP

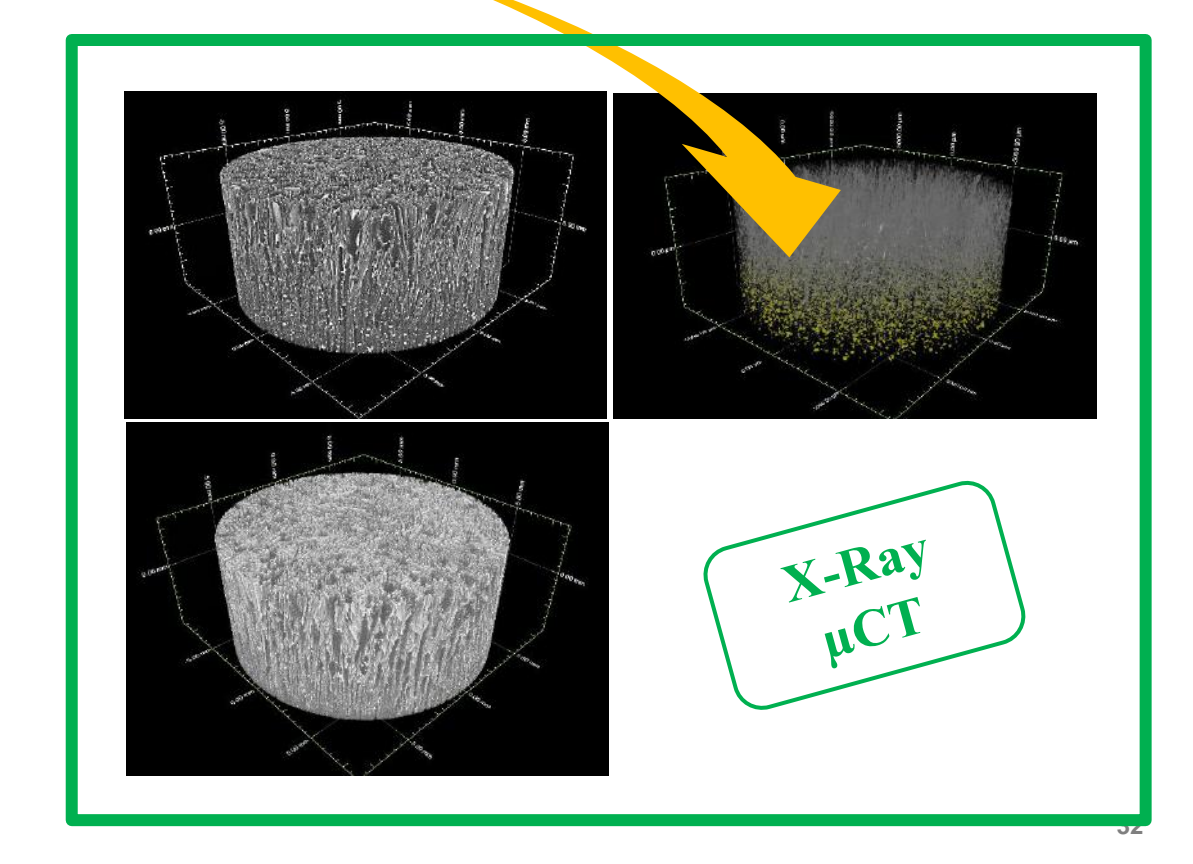
MEB (Slice view)



- Agrégats de microparticules non greffées
- Répartition homogène des microparticules greffées... ...à l'échelle des murs
- Sédimentation des microparticules non greffées
- Répartition homogène des microparticules greffées... ...à l'échelle du scaffold

P. Lagarrigue



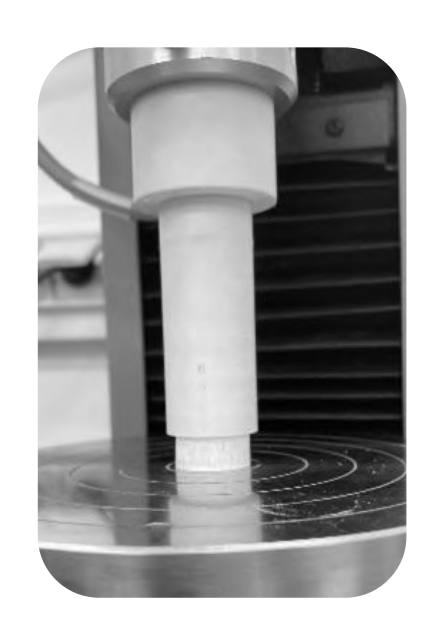


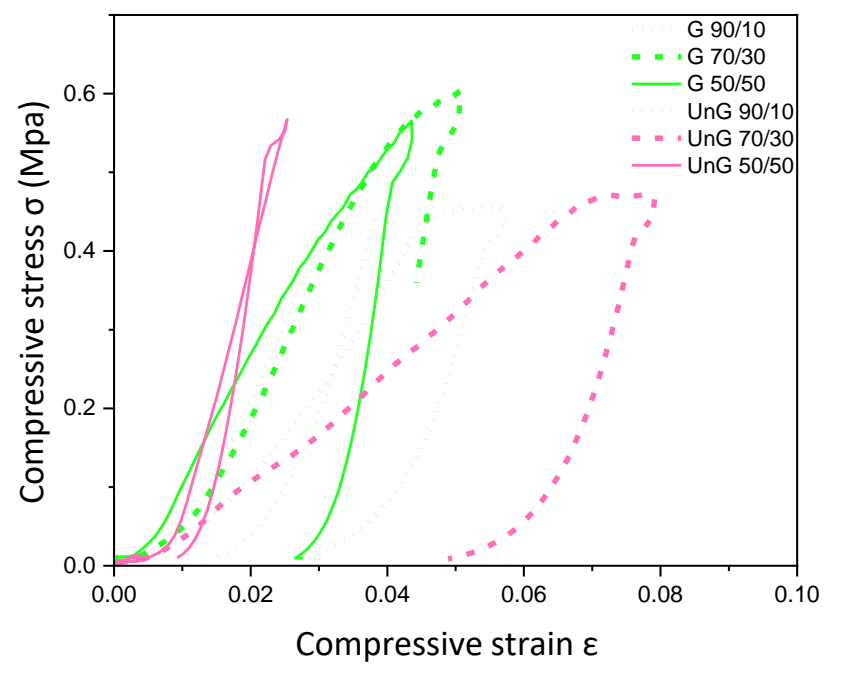


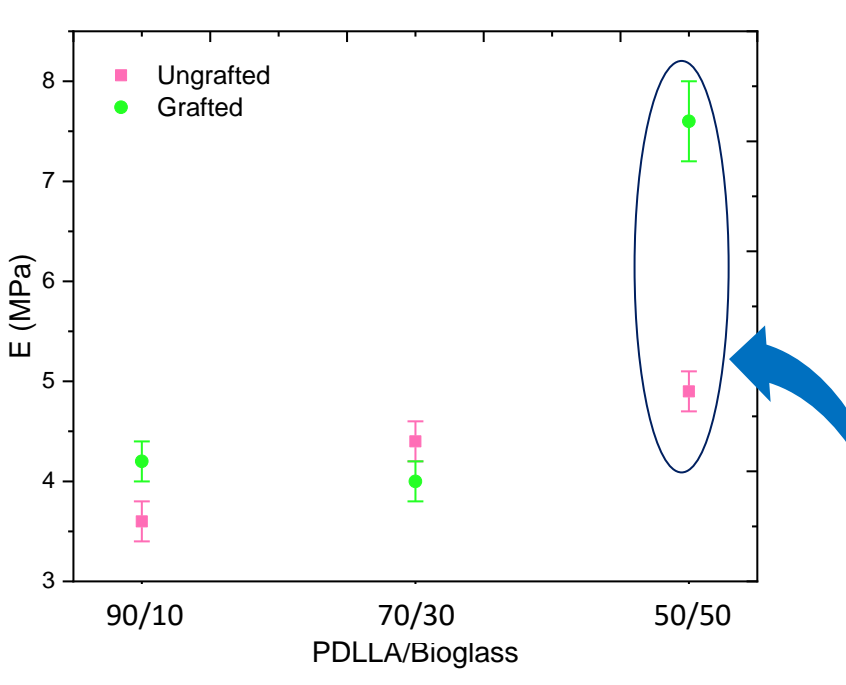
PROPRIÉTÉS MÉCANIQUES

P. Lagarrigue









Module de Young plus élevé pour les MP greffées : grâce à un taux de charge plus important lié à une meilleure homogénéité





SCAFFOLDS: IN VITRO IN VIVO TESTS

In vitro

- Différenciation : tests directs et indirects sur les SCAPs (cellules souches issues de la papille apicale)
- Analyse systématique à grande échelle : viabilité, cytotoxicité, adhésion et colonisation cellulaire

- V. Poissonnet
- C. Mayslich
- P. Weiss





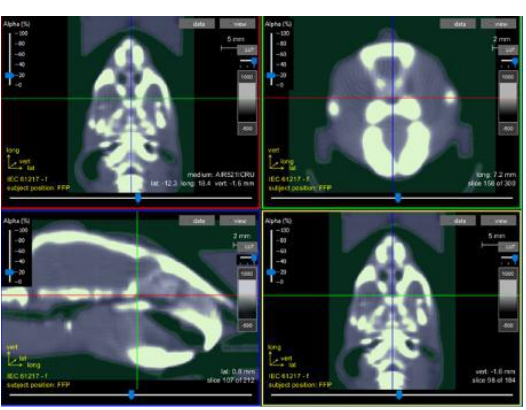
In vivo: modèle non-irradié

- Modèle de calvaria : défaut vide = contrôle négatif / contrôle positif (greffe de moelle osseuse)
- Évaluation de l'angiogenèse (agent de contraste)
- Régénération osseuse : MicroCT, MEB / histologie

In vivo: modèle irradié

- Modèle : hémimandibule irradiée (25 Gy côté gauche)
- Comblement du défaut osseux et absence d'extension de la nécrose : Micro-CT à J28, M2, M3, M4 analyses bactériologiques et histologiques





In progress...





Quelques idées...

....Pour les verriers



CONCLUSIONS POUR LES VERRIERS

• La combinaison du **spray-drying** et du **sol-gel** ouvre de **nouvelles perspectives pour la synthèse de verres**

• Différents **paramètres de formulation** et **procédé** permettent de **contrôler les propriétés** des microparticules finales

• L'approche dite « **Brick and Mortar** » reste largement inexplorée et pourrait fournir des poudres destinées à d'autres procédés (comme la fabrication additive) et à diverses applications.



REMERCIEMENTS

- Prescillia Lagarrigue
- Gabriele Vecchio
- Edoardo Cianflone
- Valentine Poissonnet
- Sylvain Le Grill
- Constance Mayslich
- David Grossin
- Vincent Darcos
- Guillaume Brotons
- Christèle Combes
- Dominique Poquillon
- Fabien Brouillet
- Christophe Tenailleau
- Audrey Bethry
- Marie-Pierre Castanié
- Agnès Dupret-Bories
- Pierre Weiss
- Yannick Coppel















